# 不確定性原理の空間の曲率としての表現

あらいのぶお 新井信雄\\*

2025年6月20日

#### がいよう概要

いっぱんきょうへんてき ふかくていせいかんけい 一般 共変的な不確定性関係について述べる。エルミート型の 計 量 テンソル しめ ころくそたようたいじょう とくべつ かんけい で示される複素多様体 上 に特別な関係にあるベクトルを 導入 し、このベクトル についてのコーシー-シュワルツの不等式が一般 共変的な形式で空間の曲 率と むすびっけることを示す。この様な機構によって得られる不確定性関係は空間の曲 率 に関係するが、一般 共変的な関係を用いて量子理論の不確定性 原理を再現するモデルと、このモデルから予想される現象について述べる。

#### 1 はじめに

じゅうりょくりるん いっぱんそうたいせいるん いっぱんきょうへんてき りるん りょうしりるん 重 力 理論である 一般相対性論は一般共変的な理論であるが、量子理論の特徴に1つである不確定性原理は一般共変的な記述にはなっていない。一般 きょうへんてき ふかくていせいげんり じゅうりょく りょうしか 共変的な不確定性原理は 重 力 の量子化についての重要な情報となる可能性がある。

多くの量子重力の候補理論から時空における長さの最小単位が予想されることから不確定性原理に直接的に最小の長さの補整を導入する試み、 $\frac{1}{2}$  のようたいではいげんりにもなくせつてきにないしょう。なが、 $\frac{1}{2}$  のである。これは主に非相対論的理論で検討されているが、 $\frac{1}{2}$  の一般化を目指する試みであるが、 $\frac{1}{2}$  の一般化を目指する試みであるが、 $\frac{1}{2}$  のようない。 $\frac{1}{2}$  のようしりるんの不確定性原理。 $\frac{1}{2}$  のない。 $\frac{1}{2}$  のない。 $\frac{1}{2}$  のはいます。 $\frac{1}{$ 

この論文では、これらとは別の手法を試みる。まず、コーシー-シュワルツの不等式のいっぱんきょうへんてき はきっとうしゅつ することから始める。n次元のエルミート型の複素多様体しまう で特別な関係にあるベクトルを導入し、このベクトルについてのコーシー-シュワルツの不等式が一般共変的な形式で曲率と結び付けることを示す。この様なかんけい 関係にあるベクトルの揺らぎに関する不等式もまた同様に曲率と結び付けられることを示す。これによって得られる不確定性関係は空間位置や運動量に関するものではなく、始めに導入した特別な関係にあるベクトルについての関係であるが、いっぱんきょうへんてき かんけい 「ことを示す。これによって得られる不確定性関係は空間位置や運動量に関するものではなく、始めに導入した特別な関係にあるベクトルについての関係であるが、いっぱんきょうへんてき かんけい 一般共変的な関係である。

この関係を用いた量子理論の不確定性原理を再現するモデルについて述べる。また、  $^{\text{th}}$  このモデルから予想される現象についても述べる。

#### 2 特別なベクトルについてのコーシー-シュヴァルツ 不等式

最初に、計 量 テンソルがエルミート型のテンソル $(g_{aar{b}}=g_{ar{b}a},g_{ar{a}b}$ は $g_{aar{b}}$ の複素 要素  $g_{ab}$  によって表されるn次元空間について考える。計 量 テンソル $g_{aar{b}}$ は、 $g_{ab}$  について対 称 なテンソル $g_{\{ab\}}$  と、 $g_{ab}$  が  $g_{ab}$  によって以下の様に 書ける。

$$g_{aar{b}}=g_{\{ab\}}+ig_{[ab]}$$

また、 $g_{aar{b}}$ は実変数 $(x^0,\ldots,x^n)$ の関数とする。

ここで、 計 量 テンソル $g_{aar{b}}$ の絶対微分が 0 になるとする。共 変 微分を記号ablaであらわ。表す。

$$abla_c g_{aar{b}} = \partial_c g_{aar{b}} - g_{ear{b}} \Gamma^e{}_{ac} - g_{aar{e}} \Gamma^e{}_{cb} = 0$$

かぶしきがいしゃ

かいはつぶ

<sup>\\*</sup>株式会社テクノエージェントシステム開発部 e-mail:yonyon.a@jcom.zaq.ne.jp

1

# クリストッフェル記号「dabは実数で 指標 a,b について対称な条件を設定する。

$$\Gamma^{\,d}_{\ ab} = \Gamma^{\,d}_{\ ba}$$

これによって、 $\Gamma$ と $g_{ab}$ との関係は以下の様なものになる。

$$egin{array}{lll} \partial_{c}g_{ab} + \partial_{a}g_{bc} - \partial_{b}g_{ac} &=& 2g_{cb} \; \Gamma^{\,e}{}_{ac} \ g_{[sb]} \; \Gamma^{\,e}{}_{ac} + g_{[as]} \; \Gamma^{\,e}{}_{bc} &=& \partial_{c}g_{[ab]} \ \partial_{c}g_{[ab]} + \partial_{a}g_{[bc]} + \partial_{b}g_{[ca]} &=& 0 \end{array}$$

この様に定義された空間 上 で波動関数の役割をするベクトル 場  $\Psi(x^0,\dots,x^n)$ を 実変数  $(x^0,\dots,x^n)$ の関数として定義する。この波動関数ベクトル 場 の大きさ の 2 乗を示すスカラー $S_\Psi^2$ は

$$S_{\Psi}{}^2 = g^{ab}\Psi_a\Psi_b = g^{ab}\Psi_a\Psi_b \qquad (2.1)$$

と定義する。 $S^2_\Psi$ を空間の全領域に亘って積分したものは1になるように規格化されているものとする。

$$\int_{-\infty}^{\infty} \cdots \int_{-\infty}^{\infty} S_{\Psi}^2 \sqrt{g} \quad d^n x = \int_{-\infty}^{\infty} \cdots \int_{-\infty}^{\infty} \Psi_a \Psi^a \sqrt{g} \quad d^n x = 1$$
 (2.2)

ここで、行列式  $g=|g_{ab}|$  = 0は実数である。任意のスカラー場 $S(x^0,\dots,x^n)$ に対する平均値 $\langle S \rangle$ を以下の積分計算で定義する。

$$\langle S 
angle = \int_{-\infty}^{\infty} \cdots \int_{-\infty}^{\infty} S(x) \sqrt{g} \quad d^n x \qquad (2.3)$$

はどうかんすうきょうへん 波動関数 共 変 ベクトル $\Psi_b,\Psi_b$ に対して共 変 微分によって関係付けられるベクトル  $U_a,U_a$ を以下の様に定義する。 $(U_a$ は $U_a$ の複素 共 役 )

$$U_a\Psi_b = \nabla_a\Psi_b$$
 (2.4a)

$$U_a\Psi_b = \nabla_a\Psi_b$$
 (2.4b)

また

$$U_a\Psi_b=\Psi_aU_b, \qquad U_a\Psi_b=\Psi_aU_b \qquad (2.5)$$

<sup>なりた</sup>が成立つとする。

はどうかんすうはんぺん 波動関数反変ベクトル $\Psi^d,\Psi^d$ に対して共変微分を計算すると

$$abla_a\Psi^d=
abla_a(g^{de}\Psi_e)=g^{de}
abla_a\Psi_e=g^{de}U_a\Psi_e=U_a\Psi^d$$

$$=g^{de}\Psi_eU_a=\Psi^dU_a \qquad (2.6a)$$

$$abla_a\Psi^d=
abla_a(g^{dar{e}}\Psi_{ar{e}})=g^{dar{e}}
abla_a\Psi_{ar{e}}=g^{dar{e}}U_{ar{a}}\Psi_{ar{e}}=U_{ar{a}}\Psi^d$$

$$=g^{dar{e}}\Psi_{ar{e}}U_{ar{a}}=\Psi^dU_{ar{a}} \qquad (2.6b)$$

<sup>え</sup>を得る。

ベクトル U の大きさの 2  $^{^{^{\text{じ}_{s}}}^{\circ}}$  スカラー $S^2_{U_R}$  は

$$S_{U_R}^2 = rac{1}{2}(S_U^2 + S_{ar{U}}^2) \hspace{1cm} (2.7a)$$

$$S_U^2 = g^{ab} U_a U_b \qquad (2.7b)$$

$$S_{\bar{U}}^2 = g^{ab} U_a U_b \qquad (2.7c)$$

2

SU<sup>2</sup>の平均値(SU<sup>2</sup>)はスカラーの平均値計算の定義(2.3)とベクトルUの定義(2.4)と (2.5)を用いると

$$\langle S_U^2 
angle = \int_{-\infty}^{\infty} \! \cdots \int_{-\infty}^{\infty} S_U \Psi_e \Psi^e \sqrt{g} d^n x$$

$$=\int_{-\infty}^{\infty}\cdots\int_{-\infty}^{\infty}g^{aar{b}}U_{a}U_{ar{b}}\Psi_{e}\Psi^{e}\sqrt{g}d^{n}x$$

$$=\int_{-\infty}^{\infty}\cdots\int_{-\infty}^{\infty}g^{aar{b}}U_{a}\Psi_{e}U_{ar{b}}\Psi^{e}\sqrt{g}d^{n}x$$

$$=\int_{-\infty}^{\infty}\cdots\int_{-\infty}^{\infty}g^{aar{b}}
abla_a\Psi_e
abla_b\Psi^ed^nx$$
 (2.8)

うえしき だい しき はんべんけいりょうてんそる 上式の第4式において反変 計 量 テンソル密度 $g^{aar{b}}=g^{aar{b}}\sqrt{g}$ を用いた。

(2.8) 式の 共 変 微分 $abla_a\Psi_e$ を展開し積分を 2 項に分けると

$$\langle S_U^2 
angle = \int_{-\infty}^{\infty} \cdots \int_{-\infty}^{\infty} g^{aar{b}} (\partial_a \Psi_e - \Gamma^d{}_{ea} \Psi_d) 
abla_b \Psi^e d^n x$$

$$=\int_{-\infty}^{\infty}\cdots\int_{-\infty}^{\infty}g^{aar{b}}\partial_{a}\Psi_{e}
abla_{b}\Psi^{e}-g^{aar{b}}\Gamma^{d}{}_{ea}\Psi_{d}
abla_{b}\Psi^{e}d^{n}x \qquad (2.9)$$

うえしき だい しき だい こう ぶぶんせきぶん おこな 上式の第2式の第1項について部分積分を 行う。

ここで、波動関数ベクトル $\Psi_e$ は無限遠では 0 ( $\Psi_e(\pm\infty) o 0$ )になることを仮定する。

$$=\int_{-\infty}^{\infty}\!\cdots\int_{-\infty}^{\infty}g^{aar{b}}\partial_{a}\Psi_{e}
abla_{b}\Psi^{e}d^{n}x$$

$$=-\int_{-\infty}^{\infty}\!\cdots\int_{-\infty}^{\infty}\partial_a g^{aar{b}}\Psi_e
abla_b\Psi^e+g^{aar{b}}\Psi_e\partial_a(
abla_b\Psi^e)d^nx$$

$$= \int_{-\infty}^{\infty} \cdots \int_{-\infty}^{\infty} g^{a\bar{d}} \Gamma^b{}_{ad} \Psi_e \nabla_b \Psi^e - g^{a\bar{b}} \Psi_e \partial_a (\nabla_b \Psi^e) d^n x \qquad (2.10)$$

2 行目の式は反変 計 量 テンソル密度の微分 $\partial_a g^{aar b} = -g^{aar d} \Gamma^b_{ad}$ を代入した。

(2.9) 式に(2.10) 式を代入して式を整理すると

$$\langle S_U^2
angle = \int_{-\infty}^{\infty} \cdots \int_{-\infty}^{\infty} g^{aar{d}} \Gamma^b{}_{ad} \Psi_e 
abla_b \Psi^e - g^{aar{b}} \Psi_e \partial_a (
abla_b \Psi^e) - g^{aar{b}} \Gamma^d{}_{ea} \Psi_d 
abla_b \Psi^e \quad d^n x$$

$$=-\int_{-\infty}^{\infty}\cdots\int_{-\infty}^{\infty}g^{a\bar{b}}\Psi_{e}\nabla_{a}\nabla_{b}\Psi^{e}\quad d^{n}x \qquad (2.11)$$

上式の 2 階 共 変 微分を 共 変 微分演算子の 交 換 関 係  $[\nabla_a, \nabla_b] = \nabla_a \nabla_b - \nabla_b \nabla_a$  と 反 交 換 関 係  $[\nabla_a, \nabla_b] = \nabla_a \nabla_b - \nabla_b \nabla_a$  と 反 交 換 関 係  $[\nabla_a, \nabla_b]$  は  $[\nabla_a, \nabla_b]$  な  $[\nabla_a, \nabla_b]$   $[\nabla_a, \nabla_b]$ 

$$\langle S_U^2
angle = -\int_{-\infty}^{\infty} \cdots \int_{-\infty}^{\infty} rac{1}{2} g^{\{aar{b}\}} \Psi_e \{
abla_a,
abla_b\} \Psi^e + rac{i}{2} g^{[aar{b}]} \Psi_e [
abla_a,
abla_b] \Psi^e \quad d^n x$$

$$=-\int_{-\infty}^{\infty}\cdots\int_{-\infty}^{\infty}\frac{1}{2}g^{\{a\bar{b}\}}\Psi_{e}\{\nabla_{a},\nabla_{b}\}\Psi^{e}+\frac{i}{2}g^{[a\bar{b}]}\Psi_{e}R_{dab}^{e}\Psi^{d}\quad d^{n}x \qquad (2.12)$$

と書ける。

っぎ なった がきあらわ ばあい かんが 次にベクトルUを2つの実ベクトルAとBの和で書き表せる場合を 考える。

$$U_a = A_a + iB_a \tag{2.13}$$

$$S_U^2 = S_A^2 + S_B^2 - i\{(B,A) - (A,B)\}$$

$$S_A^2=g^{\{ab\}}A_aA_b$$

$$S_B^2=g^{\{ab\}}B_aB_b$$

$$(B,A)=g^{\{ab\}}B_aA_b+ig^{[ab]}B_aA_b$$

$$(A,B) = g^{\{ab\}}A_aB_b + ig^{[ab]}A_aB_b$$

$$(B,A) - (A,B) = i2g^{[ab]}B_aA_b$$
 (2.14)

3

と書ける。これらから $S_U^2$ は指標 a,b についての 対 称 要素の和と 反 対 称 要素の和で 茂いせき 構成され、反 対 称 要素の和は内 積 (A,B)と(B,A)の差分になっている。内 積 (A,B)と (B,A)は 共 役 な関係になっているので、この 反 対 称 要素の和は内 積 (A,B)または (B,A)の虚数部分となる。このベクトル A,B の大きさや内 積 についてのコーシー-シュヴァルツ不等式を書くと、曲 率 に関係する式で以下の様に書くことが出来る。

$$||\langle S_A^2\rangle||\,||\langle S_B^2\rangle||\quad \geqq\quad |\langle (B,A)\rangle|$$

$$\geqq \ \ |\langle ig^{[ab]}B_aA_b
angle|$$

$$= \left| -\frac{i}{4} \int_{-\infty}^{\infty} \cdots \int_{-\infty}^{\infty} \mathbf{g}^{[a\bar{b}]} \Psi_e R^e{}_{dab} \Psi^d \quad d^n x \right| \qquad (2.15)$$

ここで、ベクトル A,B は(2.4)(2.5)や(2.13) 式を満たすものであれば任意でよい。 ベクトル A,B の揺らぎ $\sigma$ (A)、 $\sigma$ (B)は

$$\sigma(A) = \sqrt{\langle S_A^2 
angle - \langle S_A 
angle^2}$$

$$\sigma(B) = \sqrt{\langle S_B^2 
angle - \langle S_B 
angle^2}$$

(2.16)

と書ける。今、簡単の為に適当な座標変換によって $\langle S_A \rangle = 0$ 、 $\langle S_B \rangle = 0$ とすると (2.15)の左辺はベクトル A,B の揺らぎ $\sigma$ (A)、 $\sigma$ (B)に関する関係に書き表せる。

$$\sigma(A)\sigma(B) \ge \left| -rac{i}{4} \int_{-\infty}^{\infty} \cdots \int_{-\infty}^{\infty} \mathbf{g}^{[aar{b}]} \Psi_e R^e{}_{dab} \Psi^d d^n x 
ight| \qquad (2.17)$$

いまかんが 今 考えている空間では 曲 率 テンソルは 計 量 テンソルの微分によって けってい 決定することができる。ここに示されたベクトルについての不確定性関係はベクトル じたい せいしつ 自体の性質によるものではなく、計 量 テンソルやその微分などの"空間のきかがくてきせいしつ きちゃく 幾何学的性質"として帰着させることが出来る。

#### 3 量子論的な不確定性関係への適用

(2.17)で示された不確定性関係は n 次元空間の(2.4)(2.5)や(2.13)を満たす ベクトル間で成り立つ、これの量子論的な不確定性関係への適用について考える。

#### 3.1 8 次元空間

この不確定性関係から量子論的な不確定性関係の再現する試みとして、4次元の じくうかん 時空間にエネルギー・運動量の4次元を座標として取り入れた8次元の空間を 考える。各座標 $x^a$  ( $a=0,\cdots,7$ )は以下の様に定義する。

$$(x^0,x^1,x^2,x^3,x^4,x^5,x^6,x^7)=(ct,x,y,z,E/c,P_x,P_y,P_z)$$

この 8 次元空間上の実ベクトルで時空間平面に埋め込まれている(エネルギー・ うんどうりょうせいぶん 運動量成分が 0)ベクトルを時空間ベクトル、エネルギー・運動量平面内に 埋め込まれている(時空間成分が 0)ベクトルをエネルギー・運動量ベクトルと それぞれ定義する。

<sup>じくうかん</sup> 時空間ベクトル:

$$(V_{TS}^{\ a}) = (V_{TS}^{\ 0}, V_{TS}^{\ 1}, V_{TS}^{\ 2}, V_{TS}^{\ 3}, 0, 0, 0, 0)$$

エネルギー・運 動 量ベクトル: $(V_{EP}{}^a)=(0,0,0,0,V_{EP}^4,V_{EP}^5,V_{EP}^6,V_{EP}^7)$ 

# **Vector Projections and Complex Vectors**

$$u_{(k)} = \lambda_{TS(k)} + i\lambda_{EP(k+4)}$$
 (3.1.1)

 $u_{(k)(k=0\cdots 3)}$ の各要素は以下の通り

$$\begin{cases} \left(u_{(0)}^{a}\right) = \left(\lambda_{TS(0)}, 0, 0, 0, ilambda_{EP(4)}, 0, 0, 0\right) \\ \left(u_{(1)}^{a}\right) = \left(0, \lambda_{TS(1)}, 0, 0, 0, ilambda_{EP(5)}, 0, 0\right) \\ \left(u_{(2)}^{a}\right) = \left(0, 0, \lambda_{TS(2)}, 0, 0, 0, ilambda_{EP(6)}, 0\right) \\ \left(u_{(3)}^{a}\right) = \left(0, 0, 0, \lambda_{TS(3)}, 0, 0, 0, ilambda_{EP(7)}\right) \end{cases}$$
(3.1.2)

これらの複素ベクトルに対応する 4 つの波動関数ベクトル $\psi_{(k)(k=0\cdots 3)}$ が以下の関係にあるとする。

$$u_{(k)}{}^a \psi_{\bar{c}(k)} = g^{a\bar{b}} \nabla_b \psi_{\bar{c}(k)}$$
 (3.1.3)

(3.1.3)を k=1 について書き出すと

$$g^{aar{b}}
abla_b\psi_{ar{c}(1)}=u_{(1)}{}^a\psi_{ar{c}(1)}=(\lambda_{TS(1)}{}^a+i\lambda_{EP(5)}{}^a)\psi_{ar{c}(1)}$$

これは粒子の8次元座標を曲線 $\gamma(s)$ を用いて測った接線ベクトルの空間x軸への投影ベクトルと運動量 $P_x$ 軸への投影ベクトルの関係になる。これらのベクトルの揺らぎに関する不確定性関係は(2.17)を用いて

$$\sigma\left(\lambda_{TS(1)}
ight)\sigma\left(\lambda_{EP(5)}
ight)\geq\left|-rac{i}{4}\int_{-\infty}^{\infty}\cdots\int_{-\infty}^{\infty}\mathbf{g}^{[ab]}\psi_{e(1)}R^{e}{}_{dab}\psi_{(1)}^{d}\quad d^{8}\phi. \label{eq:sigma_to_tau_sigma}$$

### 3.2 計 量 テンソルの周期関数モデル

(3.1.4) 式は右辺に 曲 率 テンソルがある為に平坦な空間では量子論的な  $^{5,5}$  かんしき  $^{5,5}$  でき  $^{5,5}$  不確定性関係を再現することが出来ない。しかし、慣性系と認識できる空間は  $^{5,5}$  で  $^{5,5}$  でき  $^{5,5}$  でき

けいりょうてんそる このよう くうかんじょう にある 粒子は 慣性系にあると認識することが出来て、同時に量子論的な不確定性関係の曲率解釈を適用することが可能になる。

計 量 テンソルを与える方程式を得る良く知られた方法は、スカラー密度 ${f R}={f g}^{aar b}R_{ab}$ をハミルトン関数として採用して、 ${f R}$ の8次元体積積分を $g_{aar b}$ について独立に変分するものがある。これによって、以下の方程式が導かれる。

$$R_{ab} = 0 (3.2.1)$$

これは、指標 a,b について 対 称 なリッチテンソルの式になる。

しゅうきかんすう けいりょうてんそる でたいてき かんすう もと ふかくていせいかんけい 周期関数の 計 量 テンソルの具体的な関数やこれに基づいた不確定性関係の きょくりっひょうげん について定量 的に議論するにはこの方程式から周期関数となる計 率表現について定量 的に議論するにはこの方程式から周期関数となる計 量 テンソルを求める必要がある。しかし、計量 テンソルの具体的な関数が かからなくても 計量 テンソルの周期関数モデルの定性的な考察を行うことは できるので、次章においてそれを行う。

5

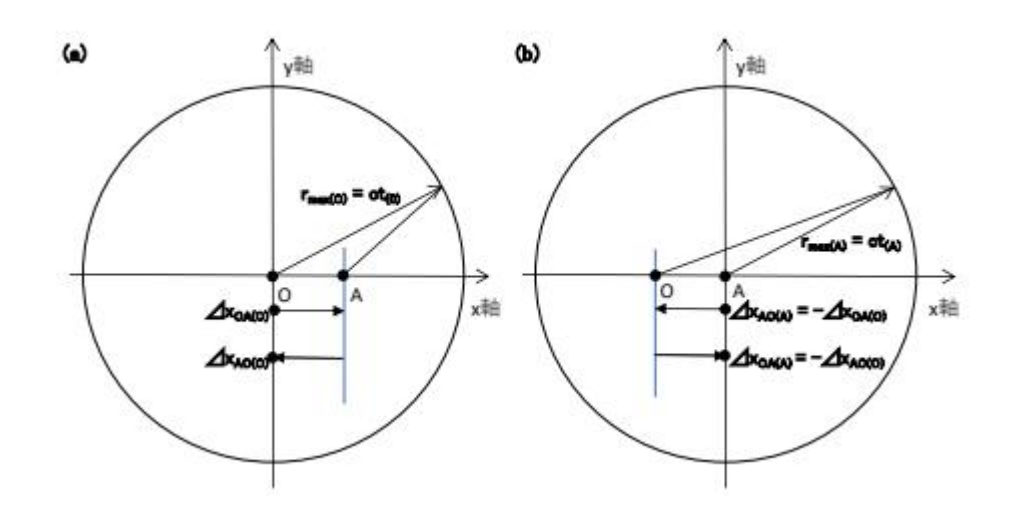
#### 4 時空間の伸長と光の赤方偏移

けいりょうてんそる しゅうきかんすう けいりょうてんそる しゅうき じげんくうかん 計 量 テンソルの周期関数モデルでは、計 量 テンソルの周期が8次元空間の距離(時空間の座標差とエネルギー・運動量の差)の最 小単位になる。エネルギーと振動数、運動量と波長に関するド・ブロイの関係式を考慮すると、これらには最小単位と同時に最大単位も存在する。

2つの異なる空間位置における空間距離の最小単位と最大単位について見てみる。位置 O の観測者が見る空間距離の最小単位を $r_{min(O)}$ 、位置 A の観測者が見る空間距離の最小単位を $r_{min(O)}$ 、位置 A の観測者が見る空間距離の最小単位を $r_{min(O)}$ 、位置 A の観測者が見る量はいまうたんいを $r_{min(A)}$ 、運動量についても同様に位置 O の観測者が見る最小ないと言うない。 2 を  $r_{min(A)}$ 、位置 A の観測者が見る最小ないと言うない。 2 を  $r_{min(O)}$ 、位置 A の観測者が見る最小ないと言うない。 3 を  $r_{min(O)}$ 、位置 A の観測者が見る最小を $r_{min(A)}$ とそれぞれない。 2 たいもの最小単位はそれぞれの観測位置によって変わらないと考えられる。 3 それぞれの位置における最小の運動量に対応した波長の最大単位 $r_{max(O)}$ 、  $r_{max(A)}$  も同様である。  $r_{max(A)}$  も同様である。  $r_{max(A)}$  も同様である。  $r_{max(A)}$  も同様である。  $r_{max(O)}$ 、  $r_{max(A)}$  も同値と考えられる。

いっぽう いっち  $rac{b}{c}$   $rac{b}{c}$   $rac{c}{c}$   $rac{c}$   $rac{c}{c}$   $rac{c}{c$ 

## **4.1 時空間の**伸 長



g 1: g 2 つの離れた位置 g 0、g のそれぞれの観測者が見たの最大値 g 面の g 平面 g 1: g 2 つの機能な g 2 の g 2 にようへの投影 g 2 の g 3 にようへの投影 g 4 のものでは g 4 はないだいちきゅうめん g 4 はんけい g 6 ないだいちきゅうめん g 4 はんけい g 6 ないだいちきゅうめん g 4 はんけい g 6 ない g 8 ない g 6 ないだいちきゅうめん g 4 ない g 6 ない g 8 ない g 9 ない g 8 ない g 9 ない g 8 ない g 8 ない g 9 ない g 8 ない g 9 ない g

簡単のために、位置 O と位置 A を結ぶ直線を x 軸に取る(図 1)。位置 O から見 た 3 次元最大値 球 面 上の座標を $x_O,y_O,z_O$ とおく、位置 O からこの 球 面 に 光 が 到達する最大時間を $t_O$ とおくと最大値 球 面 の式は以下になる(c は光速度)。

$$x_O^2 + y_O^2 + z_O^2 = (ct_O)^2$$

(4.1.1)

位置 A の観測者にとっても自身がこの球の原点に居る様に見えるので位置 A から見た 3 次元最大値 球 面 上の座 標 $x_A,y_A,z_A$ と位置 A から最大値 球 面 への 光 の 当達時間 $t_A$ から位置 A の観測者が見る最大値 球 面 の式は以下になる。

$$x_A^2 + y_A^2 + z_A^2 = (ct_A)^2$$

(4.1.2)

位置 A の観測者から見える最大値 球 面 上の座標 $(x_A,y_A,z_A,t_A)$ を位置 O から見た座標 $(x_{A(O)},y_{A(O)},z_{A(O)},t_{A(O)})$ への変換を求める。位置 O の観測者から見

た O  $\rightarrow$  A 間の距離を $\Delta x_{OA(O)}$ とおく、位置 O の観測者から見た位置 A の  $\mathbf x$  軸上 の位置は O  $\rightarrow$  A 方向ではこの距離分最大値 球 面 上 に近く $x_O - \Delta x_{OA(O)}$ 、 A  $\rightarrow$  O 方向では遠く $x_O + \Delta x_{OA(O)}$ に見えるので係数を $\alpha$ を用いて(4.1.3a)の様に おく。 $y_{A(O)}, z_{A(O)}$ については $\Delta x_{OA(O)}$ には関係しないので(4.1.3b)(4.1.3c)とおく。 位置 A から最大値 球 面 への 光 の到達時間 $t_A$ は $\Delta x_{OA(O)}$ に関係して変化すると かんが 考えられるので、係数を $\beta$ 、 $\gamma$ を用いて(4.1.3d)の様におく。

$$x_{A(O)} = lpha(x_O \mp \Delta x_{OA(O)})$$

(4.1.3a)  $y_{A(O)} = y_O$ (4.1.3b)  $z_{A(O)} = z_O$ (4.1.3c)  $t_{A(O)} = \beta x_O + \gamma t_O$ (4.1.3d)

ここで、位置 O における速度 $v_O(< c)$ を 導 入 して位置 OA 間の距離 $\Delta x_{OA(O)}=v_O t_O$ とおく、 $(4.1.3a\sim d)$  式を(4.1.2)に 代 入 すると $x_{A(O)},t_{A(O)}$ の見え方として $^{t_U v_D h}$  矛盾の無い $\alpha,\beta,\gamma$ の各係数は以下になる。

$$\alpha = \gamma = \frac{1}{\sqrt{1-v_O^2/c^2}}$$

(4.1.4a)

$$\beta = \mp \frac{v_O}{c^2 \sqrt{1 - v_O^2/c^2}}$$

(4.1.4b)

ふごう ほうこう まけ ほうこう ただし 符号 $\mp$ は O  $\rightarrow$  A 方向は負、A  $\rightarrow$  O 方向は正

これによって、位置 A からの最大値 球 面 を位置 O の視点に変 換した 座 標  $(x_{A(O)},t_{A(O)})$ については

$$x_{A(O)} = rac{x_O \mp \Delta x_{OA(O)}}{\sqrt{1-(\Delta x_{OA(O)}/r_{max(O)})^2}}$$

(4.1.5a)

$$t_{A(O)} = rac{t_O \mp (\Delta x_{OA(O)}/cr_{max(O)})x_O}{\sqrt{1-(\Delta x_{OA(O)}/r_{max(O)})^2}}$$

(4.1.5b)

が得られる(符号 $\mp$ はO o A方 向は負、A o O方 向は正)。

位置 A の観測者から距離 $\Delta x_{AO(A)}$ は $\Delta x_{OA(O)}$ とは方向は違うが値は同一である。 位置 A における速度 $v_A(< c)$ (O  $\to$  A 方向を正)を導入すると $-\Delta x_{AO(A)}$  =  $v_A t_A = v_O t_O = \Delta x_{OA(O)}$ となる。位置 A からの最大値 球 面 に 光 が到達する時間を位置 O の視点から見た $t_{A(O)}$ と位置 O のおける速度 $v_O$ より、 $-\Delta x_{AO(O)} = v_O t_{A(O)}$ と得られる。 $t_{A(O)}$ に(4.1.5b)を開いて  $\mathbf{x}$  軸 上 のみを 扱うので $r_{max(O)} = x_O$ とおいて計算すると

$$-\Delta x_{AO(O)} = rac{\Delta x_{OA(O)} + (v_O t_O \Delta x_{OA(O)}/ct_O) x_O}{\sqrt{1 - (\Delta x_{OA(O)}/x_O)^2}}$$

$$=rac{1+\Delta x_{OA(O)}/x_O}{\sqrt{1-(\Delta x_{OA(O)}/x_O)^2}}\Delta x_{OA(O)}$$

$$=\sqrt{rac{1+\Delta x_{OA(O)}/x_O}{1-\Delta x_{OA(O)}/x_O}}\Delta x_{OA(O)}\geq -\Delta x_{AO(A)}$$

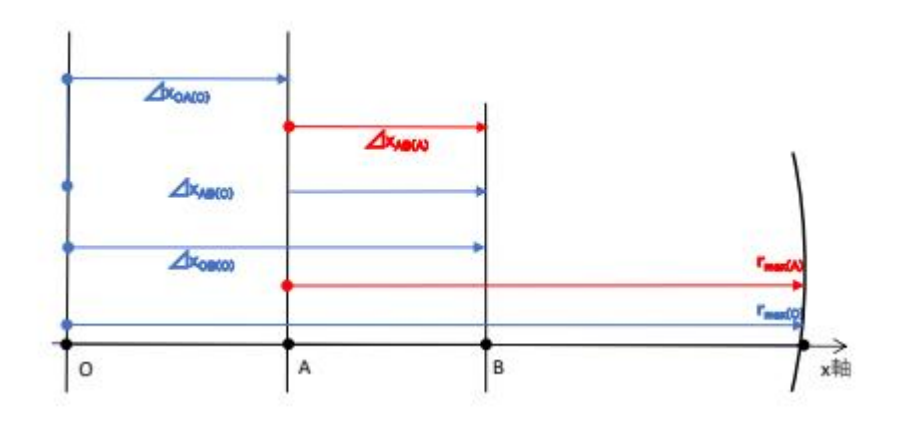
(4.1.6)

位置  $A \to O$  間の距離を観測基準を変えて位置 O の観測者が見た場合には $-\Delta x_{AO(O)} \ge -\Delta x_{AO(A)} (=\Delta x_{OA(O)}) (O \to A$ 方向を正)の様に長く見える。距離 $\Delta x_{AO(A)}$ を光が進む時間 $\Delta t_{AO(A)}$ を位置 O の視点から見た時間は $\Delta t_{AO(O)} = -\Delta x_{AO(O)}/c$ より

$$\Delta t_{AO(O)} = \sqrt{rac{1 + \Delta t_{OA(O)}/t_O}{1 - \Delta t_{OA(O)}/t_O}} \Delta t_{OA(O)} \quad \geqq \Delta t_{AO(A)}$$

(4.1.7)

 $\Delta t_{AO(O)}$ についても観測基準を変えて位置 O の観測者が見た場合には $\Delta t_{AO(O)}$   $\geq$   $\Delta t_{AO(A)}$  ( $=\Delta t_{OA(O)}$ )と長くなる。各位置の観測者が見る空間距離の最大単位が変化しないことからこの様な変化は見かけ上のもので、空間距離や時間は観測基準やかんそくほうこうを変えて見た場合に伸長する。



ずきょりかんそくくうかんてきなが図 2:距離をおいて観測した空間的な長さ

・直線上に並んだ3点(O,A,B)とこの直線を $\mathbf{x}$ 軸に取る。点Oの観測者から見た最大値球面の $\mathbf{x}$ 軸上の座標 $x_O$ 、位置Oから距離 $\Delta x_{OA(O)}$ 離れた位置を $\mathbf{A}$ から距離 $\Delta x_{AB(A)}$  離れた位置

#### きょり ごうせい 距離の合成 4.2

ぜんせつとうようにいっちょくせんじょうになられた 3 点 (O,A,B)の 直線を x 軸に取り、また、  $O \to A$ 方向のみを 考える。位置 O の観測者から見た最大値球の半径を $r_{max(O)}$  とし、位置 A は位置 O を基準に観測して+x 軸方向に距離 $\Delta x_{OA(O)}$ 離れた位置、 位置 A の観測者から見た最大値球の半径を $r_{max(A)}$ とする。位置 B は位置 A を もいだいちだまの半径を $r_{max(A)}$ とする。位置 B は位置 A を 基準に観測して位置 A からさらに+x 軸方向に距離 $\Delta x_{AB(A)}$  離れた位置とする (図 2)。

位置 A から見た最大値 球 面 の x 座標 $x_A$ と最大値 球 面 に 光 が到達する時間 $t_A$ を位置 O の観測者からの視点への変換は(4.1.5a)(4.1.5b)式を用いて計算する。 ここで、速度 $v_O(< c)$ を導入して位置 OA 間の距離を $\Delta x_{OA(O)} = v_O t_O$ を用いると

$$x_A = rac{x_O - \Delta x_{OA(O)}}{\sqrt{1 - (\Delta x_{OA(O)} / r_{max(O)})^2}} = rac{x_O - v_O t_O}{\sqrt{1 - (v_O/c)^2}}$$

(4.2.1a)

$$t_A = rac{t_O - (\Delta x_{OA(O)}/cr_{max(O)})x_O}{\sqrt{1 - (\Delta x_{OA(O)}/r_{max(O)})^2}} = rac{t_O - (v_O/c^2)x_O}{\sqrt{1 - (v_O/c)^2}}$$

(4.2.1b)

じかん して位置 AB 間の距離を $\Delta x_{AB(A)}$  とうたっとうになった。 ここでは、速度 $v_A$ (< c)

$$x_B = rac{x_A - \Delta x_{AB(A)}}{\sqrt{1 - (\Delta x_{AB(A)}/r_{max(A)})^2}} = rac{x_A - v_A t_A}{\sqrt{1 - (v_A/c)^2}}$$

(4.2.2a)

$$t_B = rac{t_A - (\Delta x_{AB(A)}/cr_{max(A)})x_A}{\sqrt{1 - (\Delta x_{AB(A)}/r_{max(A)})^2}} = rac{t_A - (v_A/c^2)x_A}{\sqrt{1 - (v_A/c)^2}}$$

(4.2.2b)

上式 (4.2.2a)の $x_A$ 、 $t_A$ に(4.2.1a)(4.2.1b)を代入して位置 O の観測者の視点へ変換する。

$$x_B = rac{1}{\sqrt{1 - (v_A/c)^2}} \left\{ rac{x_O - v_O t_O}{\sqrt{1 - (v_O/c)^2}} - v_A rac{t_O - (v_O/c^2) x_O}{\sqrt{1 - (v_O/c)^2}} 
ight\}$$

$$=rac{1+(v_Ov_A/c^2)}{\sqrt{1-(v_O/c)^2}\sqrt{1-(v_A/c)^2}}\left\{x_O-rac{v_O+v_A}{1+(v_Ov_A/c^2)}t_O
ight\}$$

$$=rac{1}{\sqrt{1-(U_O/c)^2}}\left\{x_O-U_Ot_O
ight\}$$

(4.2.3a)

ここで

$$U_O = rac{v_O + v_A}{1 + (v_O v_A/c^2)}$$

(4.2.3b)

また、OB 間の距離を位置 O の観 測 者が見た距離 $\Delta x_{OB(O)}$ は

$$\Delta x_{OB(O)} = U_O t_O = rac{\Delta x_{OA(O)} + \Delta x_{AB(O)}}{1 + rac{\Delta x_{OA(O)} \Delta x_{AB(O)}}{r_{max(O)}^2}}$$

(4.2.4)

より得られる。ここで、 $\Delta x_{AB(O)}=v_At_O$ は位置 O の観測者から見た AB 間の距離。

ラえしき きょり ごうせいにかん しき さいだいたんい い か きょり ごうせい さいだいきょり 上 式 は距離の合成に関する式で、最大単位以下の距離を合成しても最大距離には とうたっ でき しめ 到達することは出来ないことを示している。

#### 4.3 光 の赤方偏移

4.1 節において空間的長さは観測の基準位置や観測方向が異なる場合は、それらに 節において空間的長さは観測の基準位置や観測方向が異なる場合は、それらに 応じて伸長することを示した。ここでは、その効果として、この空間的長さが光の はちょう はまりに、遠方にて発信した光の波長は本来の波長より長く観測され 世をほうへんい ため たんに かかり の 波長は本来の波長より長く観測され 赤方偏移を示すことについて述べる。

$$Y(r) = rac{\lambda'}{\lambda} = \sqrt{rac{1 + r/r_{max}}{1 - r/r_{max}}}$$

(4.3.1)

<sup>ぁた</sup> で与えられる。 へんい どっぷらー こうか 偏移がドップラー効果である場合の波 長比 $Y_D=\lambda_D'/\lambda_D$ (光 源の波 長: $\lambda_D$ 、観 測 された波 長: $\lambda_D'$ )とドップラー速度 $V_D$ との関係は以下で与えられる。

$$V_D = rac{c(Y_D^2 - 1)}{Y_D^2 + 1}$$

(4.3.1)の距離に応じた赤方偏移による波長比Y(r)を仮にドップラー速度 $V_{CD}$ に換算して計算すると

$$V_{CD} = \frac{cr}{r_{max}} \qquad (4.3.2)$$

の関係を得る。

この式で得られた関係は実際の光源の運動とは無関係で距離に応じた赤方偏移をドップラー速度に換算したものである。 $c/r_{max}$ は定数なので、ドップラー換算速度 $V_{CD}$ が単純に距離 r に比例する関係  $(N_{CD})^{th}$  に比例する関係  $(N_{CD})^{th}$  によりない。

ハッブル定数 H と最大値 球 面 半径 $r_{max}$ は以下の関係になる。

$$H = \frac{c}{r_{max}} \qquad (4.3.3)$$

えんぽうてんたい ひかり せきほうへんい まん しまった でんたい こうたい 遠方天体からの光が赤方偏移することは良く知られているが、それが天体の後退か空間伸長によるものかは運動状態が知られている天体の赤方偏移を調べることで切り分けが可能である。また、空間距離に対して偏移量が小さいことから規模

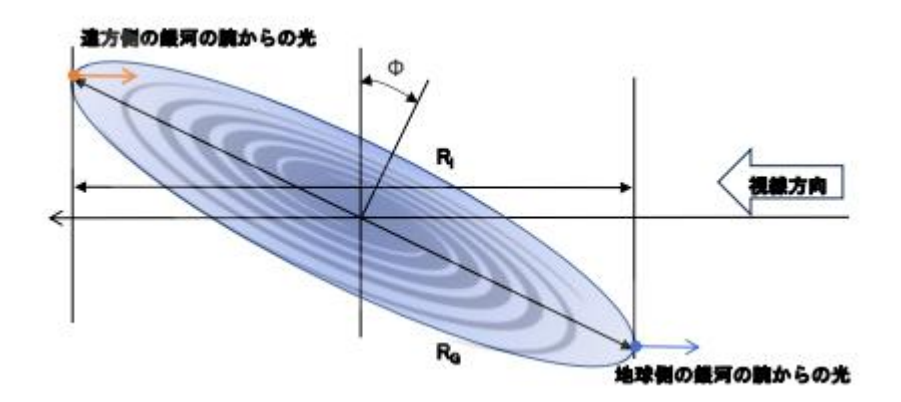
の大きな天体であることも望ましい。例としては渦巻銀河の腕の視線方向の距離に $^{ ext{ki}}$ で、 $^{ ext{ti}}$ であることも望ましい。例としては渦巻銀河の腕の視線方向の距離に $^{ ext{ki}}$ で、 $^{ ext{ti}}$ 

$$V_{CD(r=50Kpc,\phi=30^\circ)}=3.0~km/s$$

え うずまきぎんが かいてんそくど ていど りょうを得る。これは、渦巻銀河の回転速度(100~200 km/s)の 1.5~3 %程度の 量 になる。

てんたい そうできょうぎんが この他に空間 伸 長 による赤方偏移の切り分けが出来そうな天 体は、相互作用銀河の しゅぎんがにたい しせんほうこう ぶんぷ ともぎんが かんが 腕 や主銀河に対して視線方 向に分布する 伴銀河などが 考えられる。

# 3. Redshift Based on Distance from the Line of Sight of a Spiral Galaxy



**Figure 3:** Diagram illustrating redshift based on the distance from the line of sight of a spiral galaxy.

Caption: Diagram 3: Redshift based on the distance from the line of sight of a spiral galaxy. The diameter of the spiral galaxy is  $R_G$ , and the angle of inclination of the galactic plane is  $\phi$ . The distance between the Earth side

and the far side of the galaxy is  $R_l=R_G\cos\phi$ . The light shift corresponding to this distance can be considered. Compared to the light from the center of the galaxy, the light from the Earth side of the arm shows a blueshift, and the light from the far side of the arm shows a redshift.

#### 4.4 Time Dilation

In addition to celestial bodies, the detection of time dilation corresponding to equation (4.1.7) can be improved.

Compare the elapsed time between two precise clocks, one placed at the observer's hand and the other placed at a distant location. The elapsed time on the clock at the distant location is expected to appear delayed, but the amount of change relative to distance is very small. Therefore, a method can be considered to compare the elapsed time of one clock measured directly with the time delayed by the round-trip time of a time signal sent far away by light or radio waves and reflected by another object before being received.

For example, if a signal is sent to the moon at a distance of 380,000 km and received after a round trip, the round-trip time of the signal is 2.6 seconds, so the time difference for an elapsed time of 1 second is obtained as follows:

$$\Delta t_{(r=760,000\,km)}\sim 5.8 imes 10^{-18} s$$

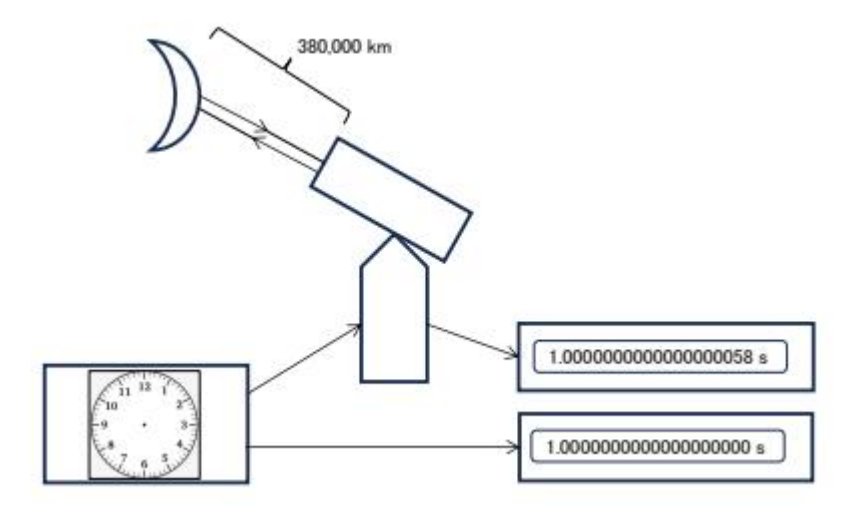


Figure 4: Diagram illustrating the time difference when sending and receiving signals to the moon.

• Caption: Figure 4: Time difference for an elapsed time of 1 second when sending and receiving signals to the moon at a distance of 380,000 km.

#### 5 まとめと展望

なくそたようたいじょう はどうかんすう やくわり 複素多様体 上 に波動関数ベクトル役割をするベクトルを定義しこのベクトルにきょうへんびぶん 共 変 微分によって関係付けられるベクトルが2つの実ベクトルの和で書き表せる 場合、この2つの実ベクトルについての不確定性関係が空間の曲 率 に関係付けて示すことが出来る。この様な不確定性関係は一般共変的なものである。

この不確定性関係から量子論的な不確定性関係の再現する試みとして、4次元の じくうかん になった。 すんどうりょう の4次元を座標として取り入れた8次元の空間を 考 える。粒子の位置やエネルギー・運動量をこの空間上のパラメーター曲線を用いて測り、パラメーター曲線の接ベクトルを用いて粒子の時空間の位置やエネルギー・運動量を不分トルを開いて粒子の時空間の位置やエネルギー・運動量のx 軸成分に関する不確定性関係 は、この様なベクトルの空間x 軸と運動量のx 軸成分に関する不確定性関係 とこのようなベクトルを開いて示すことが出来る。

へいたん くうかん ふかくていせいかんけい くうかん きょくりつ ひょうげん 平坦な空間では不確定性関係を空間の曲 率として表 現することはできないが、 りゅうし ふれんぞく い ち のみ許される場合には平坦でない空間でも慣性系と認識 できる。 周期関数の 計 量 テンソルモデルは量子論的な不確定性関係を空間 の曲 率として表 現することができる。

このモデルの 計 量 テンソルの周期は8次元空間の距離(時空間の座標差とエネルギー・運動量の差)の最 小単位になる。これは異なる空間位置においても不変なりようとかんが 量 と考えられる。エネルギーと振動数、運動量と波長に関するド・ブロイのかんけいしき こうりょ すると 最 小単位と同時に最大単位も存在し、これもまた異なる空間 位置においても不変な 間 係式を考慮すると 最 小単位と同時に最大単位も存在し、これもまた異なる空間 位置においても不変な量 と考えられる。特に時空間の最大単位が不変量である場合の効果については、遠方天体の光の赤方偏移や遠方(過去)にある時計の遅れとしてけんしゅつでき かのうせい 検 出出来る可能性がある。

これまでは周期関数の 計 量 テンソルモデルについての定性的な考察であるが、計 量 テンソルの具体的な関数や不確定性関係の曲率表現についてをでいりょうできた。 ままうき するには場の方程式 (3.2.1)から周期関数となる 計 量 テンソルを求めて調べる必要がある。また、この方程式は 4 次元の実数場の理論であるー 般相対論の空の時空の方程式と類似している。この式は重力場の記述も可能であると推察する。ここで取り扱った8次元空間はエネルギー・運動量もこの中にふく 含まれるのでこの式は空の時空のみを示したものではなくエネルギー・運動量も まんどうりょう とりあっかった 8 次元空間はエネルギー・運動量も るの中に きょうさいとき そらの時空のみを示したものではなくエネルギー・運動量も まんどうれんちん たきまれるのでこの式は空の時空のみを示したものではなくエネルギー・運動量も まんどう おんどうりょう とりあっかった 8 次元空間はエネルギー・運動量もこの中に る まれるのでこの式は空の時空のみを示したものではなくエネルギー・運動量も まんどう のまれた方程式である。この式の詳細な調査も今後の課題である。

## 6 付記

<sup>ほんげんこう こじんてき こうさつ</sup> 本原稿は、個人的な考察をまとめたものである。

## 参考文献

- [1] Kempf A 1994 J. Math. Phys. 35 4483–4496.
- [2] Kempf A, Mangano G and Mann R B 1995 Phys. Rev. D 52 1108.
- [3] J Pye, 2019 J. Phys.: Conf. Ser. 1275 012025.
- [4] Todorinov V, Bosso P and Das S 2019 Annals of Physics 405 92–100.
- [5] A. Einstein: Rev.Mod.Phys.20(1948),pp.35~39.